

## اثرات توپوگرافی ناحیه ناهموار در ارتفاع ژئوئید

\*وحید ابراهیم‌زاده اردستانی

### مروودی

\* مرکزه زیرزمینی دانشگاه تهران، صندوق پستی ۱۴۱۵۵-۶۶۶۶  
دربافت مقاله: ۸۱/۰۷/۳۱ پذیرش مقاله: ۸۱/۱۱/۱۶

### چکیده

اثرات جرم‌های توپوگرافی در تعیین ارتفاع ژئوئید در سه جمله تعریف شده است. این سه جمله عبارت‌اند از اثر مستقیم توپوگرافی روی گرانی، اثر غیر مستقیم اولیه توپوگرافی روی پتانسیل و اثر غیر مستقیم ثانویه توپوگرافی روی گرانی. مارتینس (۱۹۹۸) و نهادنچی (۲۰۰۰) معادلات متفاوتی را برای محاسبه این اثرات معرفی کردند.

در اینجا روش‌های متفاوت مربوط به این دو مولف برای منطقه کوهستانی (کوه‌های راکی) با هم مقایسه می‌شوند و اختلاف این دو رهیافت و به صورت عددی محاسبه می‌شود. لازم به ذکر است که از اثر ثانویه غیر مستقیم به علت کوچکی آن در این تحقیقات چشم‌پوشی شده است.

**کلیدواژه:** اثرمستقیم توپوگرافی، اثر غیر مستقیم توپوگرافی، نتایج عددی

### ۱ مقدمه

همچنین شونبرگ و نهادنچی (۱۹۹۹) فرمول دیگری را برای محاسبه اثر اولیه غیر مستقیم به دست آوردند. آنها نتایج فرمول خود را با نتایج حاصل از روش مارتینس برای ناحیه‌ای در کشور سوئد با هم مقایسه کردند و اعلام نمودند که تفاوتی مشاهده نشد. از آنجا که ناحیه مربوط، دارای پستی و بلندی چندانی نیست، مقایسه این فرمول‌ها برای ناحیه‌ای با پستی و بلندی‌های شدید مانند کوه‌های راکی ضروری به نظر می‌رسد.

### ۲ اثر مستقیم توپوگرافی

با در نظر گرفتن لایه انقباض هلمزت، مارتینس فرمول زیر را برای محاسبه این اثر به دست آورد،

$$\delta A(\Omega) = G \int_{\Omega_0} \bar{P}(\Omega') \frac{\partial L^{-1}(r, \psi, r')}{\partial r} \left|_{r=R}^{R+h(\Omega)} - R^2 [\sigma(\Omega') - \sigma(\Omega)] \right. \\ \left. \frac{\partial L^{-1}(r, \psi, r')}{\partial r} \right|_{r=R+H(\Omega)} d\sigma \quad (1)$$

برای تعیین زمینوار از طریق انترگرال استوکس تمام جرم‌های خارج ژئوئید باید حذف شوند. این جرم‌ها پتانسیل باقی‌مانده را ایجاد می‌کنند.

مارتینس (۱۹۹۸) و مارتینس و وانیچک (۱۹۹۴) نشان دادند که اختلاف زمینوار یا بضمی مرجع مربوط به این پتانسیل باقی‌مانده، برای یک چگالی ثابت از مرتبه متر است و حتی برای کوه‌های اورست تا ۹ متر می‌رسد.

محاسبه پتانسیل باقی‌مانده در واقع به معنای در نظر گرفتن اثرات توپوگرافی است.

سه نوع متفاوت اثرات توپوگرافی یعنی اثر غیر مستقیم اولیه و ثانویه و اثر مستقیم، توسط چند محقق معرفی شده است.

مارتینس (۱۹۹۸) فرم تحلیلی مربوط به این اثرات را به دست آورد و این اثرات را با استفاده از پتانسیل باقی‌مانده برای ناحیه کوه‌های راکی محاسبه کرد.

رهیافت دیگری برای محاسبه اثر مستقیم توپوگرافی توسط نهادنچی (۲۰۰۰) معرفی شد.

چگالی و  $H_p$  به ترتیب ارتفاع اورتومتری نقاط انگرال‌گیری و محاسبه‌ای است.

$$\ell = \sqrt{r_p^2 + r^2 - 2r_p r \cos \psi} \quad \text{و} \quad \ell_0 = 2R \sin \frac{\psi}{2}$$

$r_p = R + H_p$  است.

۳ اثر اولیه غیر مستقیم توپوگرافی برای محاسبه این اثر فرمول به دست آمده توسط مارتینس (۱۹۹۸) به صورت زیر است،

$$\delta v(r, \Omega) = -2\pi G \bar{P}(\Omega) H^2(\Omega) \left( 1 + \frac{2}{3} \frac{H(\Omega)}{R} \right) + G \int_{\sigma_0}^{\sigma} \quad (8)$$

فرمول دیگر معروف شده توسط شونبرگ و نهاندنچی (۱۹۹۹) برای محاسبه این اثر به صورت زیر است

$$\delta N(P) = -\frac{3\pi\mu}{\gamma} - \frac{3R\mu}{4\gamma} \iint_{\sigma} \frac{H^2 - H^2 p}{\ell_0} d\sigma \quad (9)$$

$$-\frac{\mu}{8\gamma} \iint_{\sigma} \frac{H^3 - H^3 p}{\ell_0} d\sigma$$

#### ۴ نتایج عددی

برای مقایسه فرمول‌های مختلف محاسبه اثرات توپوگرافی، این اثرات برای ناحیه‌ای در کوههای راکی با استفاده از یک مدل ارتفاعی رقمی  $5' \times 5'$  محاسبه شده‌اند.

در اینجا تنها ناحیه‌ای واقع در یک دایره، اطراف نقطه محاسبه‌ای به شعاع  $3$  درجه در نظر گرفته شده است. مقادیر ثابت در فرمول‌ها به صورت زیر انتخاب شده‌اند (مارتینس، ۱۹۹۸).

$$G = 6.673 \times 10^{11} \text{ m}^3 \text{ kg}^{-1} \text{ sec}^{-2}$$

$$\rho_0 = 2670 \text{ kg m}^{-3}$$

$$R = 6371 \text{ km}$$

$$\gamma = 981 \text{ gal}$$

مقدار مطلق اثر مستقیم توپوگرافی با استفاده از فرمول‌های ۱ و ۷ در شکل ۱ نشان داده شده است. در این شکل مقدار حداقل اختلاف  $0.00045\%$  میلی‌گال و حد اکثر  $6.307\%$  میلی‌گال است.

که در اینجا  $\bar{P}(\Omega)$  مقدار متوسط چگالی واقعی جرم‌های توپوگرافی است یعنی،

$$\bar{P}(\Omega) = \frac{1}{H(\Omega)} \int_{r=R}^{R+H(\Omega)} P(r, \Omega) r^2 dr \quad (2)$$

$$\sigma(\Omega) = \bar{P}(\Omega) H(\Omega) \left[ 1 + \frac{H(\Omega)}{R} + \frac{H^2(\Omega)}{3R^2} \right] \quad (3)$$

و همچنین داریم

$$L(r, \psi, r') = \sqrt{r^2 + r'^2 - 2rr' \cos \psi} \quad (4)$$

$$\tilde{L}^{-1}(r, \psi, r') = \frac{1}{2} (r' + 3r \cos \psi) L(r, \psi, r') + \frac{r^2}{2} (3 \cos^2 \psi - 1) \ln[r' - r \cos \psi + L(r, \psi, r')] + C \quad (5)$$

$$\frac{\partial \tilde{L}^{-1}(r, \psi, r')}{\partial r} = [(r'^2 + 3r^2) \cos \psi + (1 - 6 \cos^2 \psi)r'] \quad (6)$$

$$L^{-1}(r, \psi, r') + r(3 \cos^2 \psi - 1) \ln[r' - r \cos \psi + L(r, \psi, r')] \quad (6)$$

که در این روابط  $\Omega$  شامل مختصات نقطه یعنی طول و عرض جغرافیایی،  $\psi$ : فاصله کروی دو نقطه بر حسب درجه،  $r$  و  $r'$  به ترتیب اندازه بردارهای شعاعی نقطه محاسبه‌ای و نقطه انگرال‌گیری و  $C$  ثابت است.

مارتینس (۱۹۹۸) ثابت کرد که محاسبات عددی جملات بالا حتی در نزدیک‌ترین فاصله از نقطه محاسبه‌ای نیز بسیار پایدار است. او همچنین نشان داد که برای رسیدن به دقت از مرتبه  $1/5$  سانتی‌متر در محاسبه اثر غیر مستقیم و یا دقت از مرتبه  $1/5$  میلی‌گال در محاسبه اثر مستقیم توپوگرافی کافی است که محاسبات در یک دایره به شعاع  $3$  درجه انجام گیرد.

روش دیگری برای محاسبه اثر مستقیم توپوگرافی توسط نهاندنچی (۲۰۰۰) و شونبرگ (۲۰۰۰) به صورت زیر معرفی شد.

$$\delta \Delta g_{dix} = -\frac{4\pi\mu}{R} H_p^2 - \frac{3\mu}{8} \iint_{\sigma} \frac{H^3 - H_p^2}{\ell_0} d\sigma$$

$$+ \frac{\mu R^2}{2} \iint_{\sigma} \frac{H_p^2 - H^2}{\ell^3} \left( 1 - \frac{3H_p^2}{\ell^2} \right) d\sigma \quad (7)$$

که در اینجا  $\mu = G\rho_0$  و  $G$  ثابت جهانی گرانش و  $\rho_0$

دارند. اختلاف بین این دو رهیافت می‌تواند تا مرتبه میلی‌گال در اثر مستقیم و مرتبه سانتی‌متر در اثر غیر مستقیم اولیه برسد.

به طور مثال مقدار حداکثر اختلاف بین این دو رهیافت حاصل از اثر مستقیم توبوگرافی روی گرانی ۶۱۳۰.۷ میلی‌گال و میزان حداکثر اختلاف حاصل از اثر غیر مستقیم اولیه روی ارتفاع زمینوار ۹۱۳۷۶ سانتی‌متر است که این مقادیر بزرگ‌تر از مقادیر گزارش شده توسط نهادنچی (۲۰۰۰) است.

از آنجایی که در روش شونبرگ و نهادنچی (۱۹۹۹) چگالی ثابت در نظر گرفته شده است، شاید بتوان گفت که در صورت وجود اطلاعات کافی در مورد چگالی، روش مارتینس دارای انعطاف پذیری بیشتری است. ولی در نظر گرفتن چگالی ثابت از نظر محاسباتی ساده‌تر است.

از نظر حجم محاسبات نیز هر دو روش مشابه‌اند.

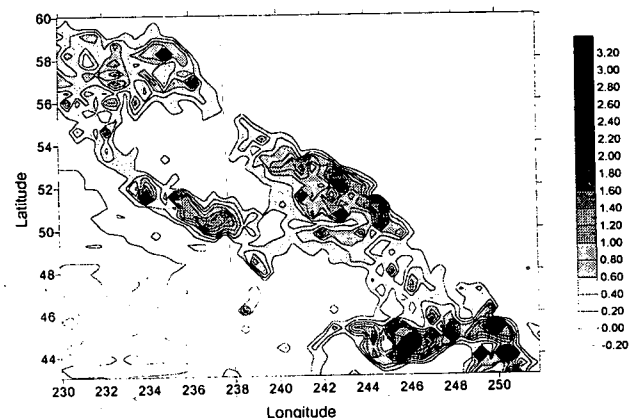
### تشکر و قدردانی

بدین‌وسیله از پروفسور مارتینس به خاطر تهیه و در اختیار گذاشتن داده‌های لازم و همچنین مؤسسه ژئوفیزیک دانشگاه تهران قدردانی می‌شود.

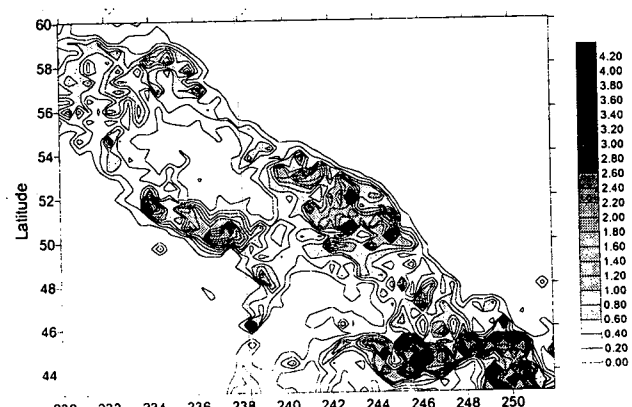
### منابع

- Martinec, Z., 1998, Boundary-value problem for gravimetric determination of a precise geoid. Springer Vergal Berlin.
- Martinec, Z., and Vanicek, P., 1994, The indirect effect of Stokes- Helmerts condensation for a spherical approximation of the geoid. *Man. Geod.*, **19**, 213-219.
- Nahavandchi, H., 2000, The direct topographical correction in gravimetric geoid determination by the Stokes-Helmert method. *J. Geod.*, **74**, 488-496.
- Sjöberg L. E., 2000, Topographical effects by the Stokes-Helmert method of geoid and quasi-geoid determination. *J. Geod.*, **74**, 255-268.
- Sjöberg L. E., and Nahavandchi, H., 1999, on the indirect effect in the Stokes-Helmert method on geoid determination. *J. Geod.*, **73**, 87-93.

که این مقدار حداکثر به مرتب از مقدار گزارش شده توسط نهادنچی (۲۰۰۰) یعنی  $2/31 \text{ میکروگال}$  بزرگ‌تر است.



شکل ۱. اختلاف مطلق بین مقادیر محاسبه‌ای از فرمول‌های ۱ و ۷.



شکل ۲. اختلاف مطلق بین مقادیر محاسبه‌ای از فرمول‌های ۸ و ۹.

همچنین مقدار مطلق اختلاف برای اثر غیر مستقیم اولیه با استفاده از فرمول‌های ۸ و ۹ در شکل ۲ نشان داده شده است. مقدار حداقل  $1327 \text{ سانتی‌متر}$  و حداکثر  $91376 \text{ سانتی‌متر}$  است. این اختلاف در زمانی که زمینوار با دقت ۱ سانتی‌متر مد نظر باشد کاملاً قابل توجه است.

### ۵ نتیجه‌گیری

اثرات جرم‌های توبوگرافی در محاسبه زمینوار کاملاً اهمیت